

Elektrocheminės Na_2MoO_4 redukcijos ant $\text{Se}|\text{SnO}_2|\text{stiklas}$ paviršiaus dėsningumai

D. Sinkevičiūtė, N. Dukštienė

Kauno technologijos universitetas,
Radvilėnų pl. 19, LT-50254 Kaunas, Lietuva
El. paštas sinkeviciute.dovile@gmail.com

J. Baltrušaitis

Centrinė mikroskopijos tyrimų laboratorija, Ajobos universitetas,
76 EMRB, Ajoba IA 52242, JAV

A. Guobienė

Kauno technologijos universiteto Fizikinės elektronikos institutas,
Savanorių pr. 271, LT-50131 Kaunas, Lietuva

Gauta 2009 m. gruodžio 7 d.; priimta spaudai 2010 m. sausio 26 d.

Ciklinės voltamperometrinės analizės, rentgeno fotoelektroninės spektroskopijos ir lateralinį jėgų mikroskopijos metodais tirta Na_2MoO_4 elektrocheminė redukcija $0,22 \text{ mol/dm}^3$ natrio citrato tirpale. Nustatyta, kad ant $\text{SnO}_2|\text{stiklas}$ paviršiaus, padengto selenu, potencialų srityje nuo $-0,20 \text{ V}$ iki $-0,80 \text{ V}$ ($\text{KCl}_{(\text{sotus})}\text{AgCl}$, Ag elektrodo atžvilgiu) pradiniu elektrolizės momentu susidaro polivalentinio molibdeno oksido dangos. Iš rentgeno fotoelektroninės spektroskopijos analizės duomenų nustatytas deguonies ir molibdeno atominių koncentracijų santykis yra lygus 2,9. Dangos kristalinių užuomazgų susidarymo ir augimo mechanizmas tirtas chronoamperometrių kreivių metodu. Chronoamperometrių kreivių analizė

$\frac{I^2}{I_m^2} = f\left(\frac{t}{t_m}\right)$ ir $\frac{I^2}{I_m^2} = f\left(\frac{t}{t_m}\right)^2$ koordinatėse rodo, kad vyrauja progresyvus kristalinių užuomazgų susidarymo ir augimo mechanizmas. Užuomazgų susidarymo greitis AN_∞ priklauso nuo Na_2MoO_4 koncentracijos elektrolite ir potencialo.

Ivadas

Įvairios cheminės sudėties molibdeno junginiai su selenu ir deguonimi vis plačiau pritaikomi įvairose šiuolaikinėse technologijose. Termiškai stabili sluoksnių $\text{MoO}_2|\text{MoSe}_2$ membrana yra perspektyvus keitiklis – nedidelis cheminis reaktorius, išgaunantis vandeniliu praturtintas dujas iš gamtinių dujų, kuro elementuose [1]. Teigama [2], kad ant platinos nusodinta $\text{MoSe}_2|\text{MoO}_x$ dangos pasižymi katalizinėmis savybėmis metanolio elektrodinės oksidacijos reakcijose. Mo-O-Se dangos, kaip elektrodai, gali būti panaudojamos saulės energijos konversijos celėse.

Pastaraisiais metais nemažai dėmesio skiriama elektrocheminiams tokiiems dangų gavimo metodui ir jų savybių tyrimui. Kauno technologijos universitete iš citratinių elektrolitų (pH 8,3) ant $\text{SnO}_2|\text{stiklas}$ paviršiaus nusodintos plonos Mo-O-Se dangos [3, 4]. Rentgeno fotoelektroninės spektroskopijos metodu dangose, atsižvelgus į $\text{Mo}|\text{Se}$ santykį, randami Se, MoSe_2 , MoSeO_x , MoO_2 , MoO_3 , $\text{Mo}_x(\text{OH})_y$ junginiai. Dangos susidarymo mechanizmas siejamas su pirmine selenito rūgšties redukcija ir elementinio seleno susidarymu [5]. Vis dėlto lieka neaiškūs bendri molibdeno ir seleno elektrocheminio sąsėdžio dėsningumai.

Literatūroje plačiai nagrinėta selenito rūgšties redukcija ant $\text{SnO}_2|\text{stiklas}$ paviršiaus [6, 7].

Na_2MoO_4 redukcija ant $\text{SnO}_2|\text{stiklas}$ paviršiaus iš citratinio elektrolito aptarta [8]. Tačiau nerasta publikacijų, skirtų Na_2MoO_4 redukcijos vyksmo tyrimams ant Se paviršiaus, nusodinamų dangų cheminės sudėties ir struktūros analizei. Nusodinamų nanokristalinių dangų struktūrą nulemia užuomazgų susidarymo mechanizmas.

Kristalinių užuomazgų susidarymo mechanizmai gali būti dviejų rūšių – momentinis ir progresyvus.

Literatūroje yra pateikiama keletas metodų, kaip nustatyti kristalinių užuomazgų susidarymo mechanizmą ir parametrus, susijusius su užuomazgų formavimuisi [9–11], tačiau dažniausiai naudojamas Scharifker ir Hills [10] modelis.

Pagal šį modelį momentinis susidarymo mechanizmas pagristas greitu kristalinių užuomazgų augimu ant mažo skaičiaus aktyvių centrų, kurie susidaro tuo pačiu metu, ir aprašomas lygtimi [10, 11]:

$$\frac{I^2}{I_m^2} = \frac{1,9542}{\frac{t}{t_m}} \left\{ 1 - \exp \left[1,2564 \cdot \left(\frac{t}{t_m} \right) \right] \right\}^2; \quad (1)$$

čia I – srovės stipris, μA ; I_m – maksimalus srovės stipris, μA ; t – trukmė, s; t_m – momentas, atitinkantis maksimalų srovės stipriji, s.

Pagrindiniai dydžiai, nusakantys momentinį kristalinių užuomazgų susidarymo mechanizmą, yra difuzijos koeficientas (D) ir susidariusių kristalinių užuomazgų skaičius (N_∞).

Difuzijos koeficientas apskaičiuojamas pagal formulę [10]:

$$I_m^2 \cdot t_m = 0,1629 (zFc)^2 \cdot D; \quad (2)$$

čia z – jono valentingumas; F – Faradėjaus konstanta, 96500 C/mol; c – elektrolito koncentracija, mol/cm³; D – difuzijos koeficientas, cm²/s.

Susidariusių užuomazgų skaičius apskaičiuojamas pagal formulę [10]:

$$I_m = 0,6382 zFD c_0 (kN_\infty)^{1/2}; \quad (3)$$

čia z – elektronų skaičius, dalyvaujantis reakcijoje; N_∞ – susidariusių užuomazgų skaičius, cm⁻²; $k = \left(\frac{8\pi c_0 M}{\rho} \right)^{1/2}$; M – nusodintos medžiagos molekulinė masė, g/mol; ρ – tankis, g/cm³.

Nuolatinis užuomazgų susidarymas ir augimas ant didelio skaičiaus paviršiaus aktyvių centrų būdingas progresyviai susidarymo mechanizmui. Šis mechanizmas nusakomas lygtimi [9, 10]:

$$\frac{I^2}{t_m^2} = \frac{1,2254}{t_m} \left\{ 1 - \exp \left[-2,3367 \cdot \left(\frac{t}{t_m} \right)^2 \right] \right\}^2. \quad (4)$$

Pagrindiniai dydžiai, nusakantys progresyvų kristalinių užuomazgų susidarymą, yra difuzijos koeficientas (D) ir kristalinių užuomazgų susidarymo greitis (AN_∞).

Difuzijos koeficientas apskaičiuojamas pagal formulę [10]:

$$I_m^2 \cdot t_m = 0,2598 (zFc)^2 \cdot D. \quad (5)$$

Kristalinių užuomazgų susidarymo greitis apskaičiuojamas pagal formulę [10]:

$$I_m = 0,4615 zFD^{1/4} c_0 (k' AN_\infty)^{1/4}; \quad (6)$$

čia AN_∞ – užuomazgų susidarymo greitis, cm⁻²/s; $k' = \frac{4}{3} \left(\frac{8\pi c_0 M}{\rho} \right)^{1/2}$.

Šis darbas yra anksčiau vykdytu mokslinių tyrimų tęsinys. Jame analizuojami pirminiai Na₂MoO₄ redukcijos ant Se|SnO₂|stiklas elektrodo citratiniame elektrolite procesai. Taip pat aptariami kristalinių užuomazgų susidarymo mechanizmai.

Tyrimų metodika

Darbe naudoti elektrolitai, kurių pagrindinės sudedamosios dalys: natrio molibdatas (Na₂MoO₄) ir selenito rūgštis (H₂SeO₃). Kaip fono elektrolitas naudotas 0,22 mol/dm³ natrio citrato tirpalas. Naudoti reagentai: Na₂MoO₄·2H₂O (grynumas > 99 %, Sigma-Aldrich, Vokietija), SeO₂ (grynumas > 99 %, Reachim, Rusija), natrio citratas (C₆H₅Na₃O₇·2H₂O, grynumas > 99 %, Lachema, Čekijos Respublika). Tyrimai atlikti su 20 °C temperatūros elektrolitais, kurių pH 8,3. Iki reikiamo pH elektrolitas koreguotas 6 mol/dm³ NaOH arba 1 mol/dm³ H₂SO₄ tirpalais.

Darbinis elektrodas SnO₂|stiklas plokšteli padengta selenu. Selenas ant SnO₂|stiklas paviršiaus nusodintas citratiniame elektrolite, kuriam buvo 0,001 mol/dm³ H₂SeO₃, esant -0,8 V potencialui. Tam naudotas potenciostatas PI-50-1 (Rusija) kartu su programuotuvu PR-8 (Rusija) ir termostatuojama trijų elektrodų celė JSE-2. Elektrolitas maišytas magnetine maišykle. Elektrolizės trukmė 10 min. Baigus elektrolizę, plokšteli suplauta distiliuotu vandeniu ir nusausinta filtro popieriumi. Gauto Se|SnO₂|stiklas paviršiaus geometrinis plotas – 3,84 cm².

Elektrocheminiai tyrimai atlikti Autolab PGSTAT (Ecochem, Olandija) potenciostatu / galvanostatu. Duomenys apdoroti ir kaupti kompiuterizuotaja GPES®-4,9 įranga. Potencialo skleidimo greitis 0,05 V/s.

Pagalbinis elektrodas – 40 cm ilgio ir 1,0 mm skersmens platinos viela, susukta į spiralę, kurios paviršiaus plotas lygus 12,5 cm². Lyginamasis elektrodas – sidabro chloridinis KCl_(sotus)|AgCl, Ag elektrodas. Potencialai nurodyti šio elektrodo atžvilgiu.

Nusodintų dangų paviršiaus morfologija tirta atominės jėgos mikroskopijos metodu (AJM). Lateralinių jėgų mikroskopijos (LJM) metodu galima aptikti cheminės sudėties pokyčius, esant net tai pačiai dangų paviršiaus morfologinei struktūrai. AJM ir LJM analizė atlikta mikroskopu Novascan NT-206 (Baltarusija). Prietaiso skiriamoji vertikali geba 0,2–0,4 nm, lateralinių – šoninė – 2,0 nm. Skenavimo matricos dydis 512 × 512 taškų. Maksimalūs bandinio parametrai – 15 × 15 × 3 μm (plotis – ilgis – aukštis). Skenavimo greitis x – y plokštumoje lygus 10 μm/s.

Dangų infraraudonojo spektro molekulinė atspindžio spektrinė analizė atlikta spektrofotometru Perkin Elmer Spectrum GX (JAV), kurio skiriamoji geba lygi 0,3 cm⁻¹. Atspindžio spektras užrašytas 2000–600 cm⁻¹ srityje SnO₂|stiklas plokštelių atžvilgiu. Duomenys kaupti ir apdoroti kompiuteriu, naudojant sujungimo su kompiuteriu plokštę ir Spectrum programą. Eksperimentiniai spektrai lyginti su literatūros duomenimis.

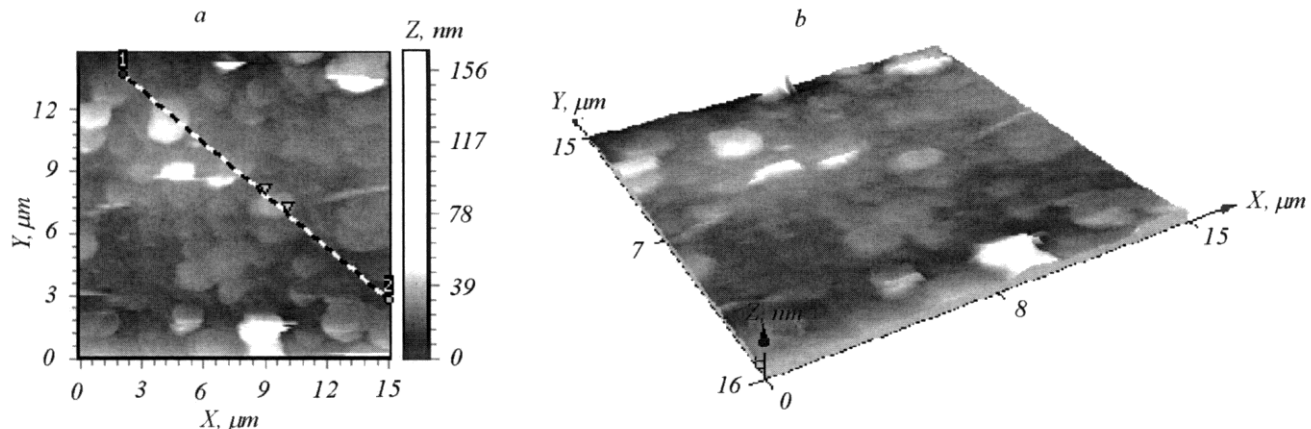
Mo-O-Se dangų elementinė sudėtis nustatyta rentgeno fotoelektroninės spektrinės analizės metodu (RFES). Analizė atlikta Kratos Axis Ultra X-ray prietaisu. Prieaisas kalibrotas pagal Cu 2p_{2/3} liniją, kurios ryšio energija 932,6 eV. Naudotas Al K_α spinduliuavimas, kurio energija 1486,6 eV, monochromatorius apvalus silicio kristalas, analizatoriaus pastovaus pralaidumo režimo energija yra 20 eV, o energijų kritimo žingsnis 0,1 eV. Ryšio energijų poslinkis dėl bandinio įsiektrinimo

kompensuotas pagal C 1s smailės padėti spektre (ryšio energija 285,0 eV). Fotoelektroniniai spektrai analizuoti CasaXPS programa. Užrašyti Mo 3d ir O 1s fotoelektroniniai spektrai. Mo 3d spekto kreivė išskaidoma į dvi dedamasių santykį 3 : 2, kuriose viena Mo 3d_{5/2} nuo kitos Mo 3d_{3/2} nutolusios 3,14 eV energija. Spręsta Gauso / Lorentzo funkcija, kuriai priskirta 30 % Lorentzo ir 70 % Gauso, paklaida $\pm 0,2$ eV.

Rezultatai ir jų aptarimas

SELENO DANGOS APIBŪDINIMAS. Seleno dangos, nusodintos ant SnO₂ stiklas plokštės paviršiaus, morfologijos tyrimas AJM metodu (1 pav.) parodė, kad dangoje galima išskirti tris būdingų geometrinį matmenų struktūras (baltas, pilkas ir juodas).

Struktūrų būdingi matmenys pateiki 1 lentelėje.

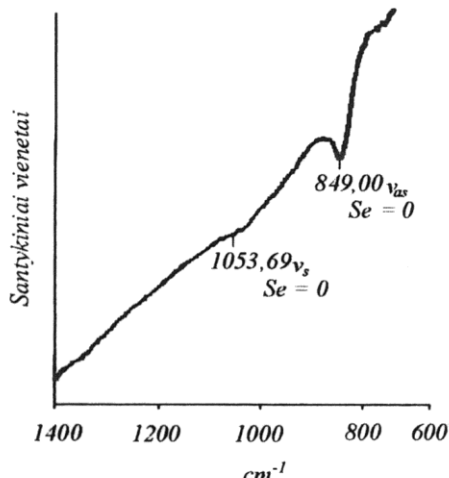


1 pav. Se|SnO₂|stiklas paviršiaus AJM nuotraukos: *a* – 2D topografija, *b* – 3D topografija

1 lentelė. Analizuojamos Se dangos būdingų struktūrų geometriniai matmenys

Segmentas (pagal pilkumo skale iš AJM)	Aukštis, nm	Skersmuo, nm
Baltas	15	1394
Pilkas	27	2200
Juodas	12	1840

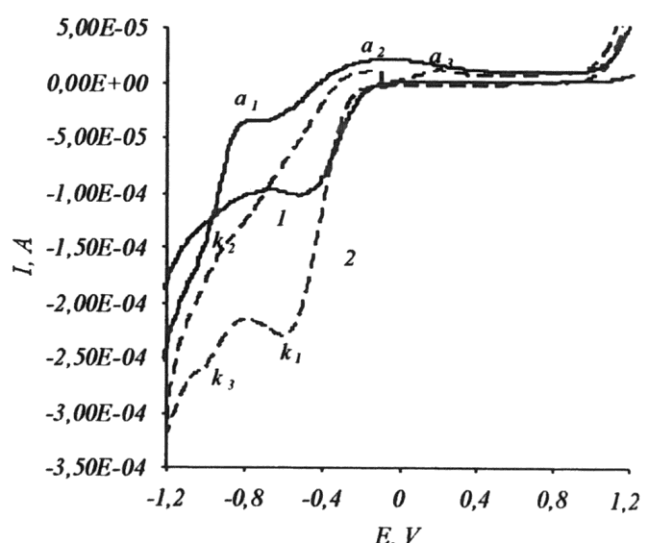
Se|SnO₂|stiklas paviršiaus atspindžio spekto (2 pav.) pobūdis yra būdingas amorfiniams selenui [12]. Užregistruotos neryškios absorbcijos juostos ties 849,00 ir 1053,69 cm⁻¹ yra priskirtinos Se=O grupės simetriniams ir asimetriniams vibraciniams virpesiams [12]. Tai rodo, kad ant seleno paviršiaus adsorbuojasi nedaug SeO₃²⁻ jonų.



2 pav. Seleno dangos, nusodintos ant SnO₂ stiklas paviršiaus, atspindžio spektras

Se|SnO₂|STIKLAS ELEKTRODO ELGSENA NATRIO CITRATO TIRPALE. Se|SnO₂|stiklas elektrodo ciklinių voltamperometrinės kreivių pobūdis 0,22 mol/dm³ fono (natrio citrato) tirpale priklauso nuo pirminės potencialų skleidimo krypties.

Jei pradžioje potencialas skleidžiamas į katodinę pusę (3 pav., 1 kr.), užregistruojama nedidelė katodinė srovė k_1 priskirtina adsorbuotų SeO₃²⁻ jonų redukcijai iki elementinio seleno [13]:



3 pav. Se|SnO₂|stiklas elektrodo ciklinės voltamperometrinės kreivės fono elektrolite: 1 – pradinis potencijalo skleidimas į katodinę pusę, 2 – pradinis potencijalo skleidimas į anodinę pusę

Neigiamesniu nei -0,70 V potencialų srityje (k_2) Se^{2-} ionai gali susidaryti elektrochemiškai [5, 13]:



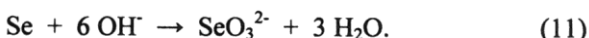
arba selenu redukuojantis atominiu vandeniliu [5, 13]:



Atgalinio anodinio skleidimo metu užregistruojama anodinė smailė a_1 ties $E_{a_1s} = -0,75 \text{ V}$ (3 pav., 1 kr.) priskirtina absorbuoto atominio vandenilio desorbcijai [14–17]. Bangos a_2 potencialų srityje persikloja du elektrodiniai procesai: Se^{2-} jonų oksidacija iki seleno [5, 13]:

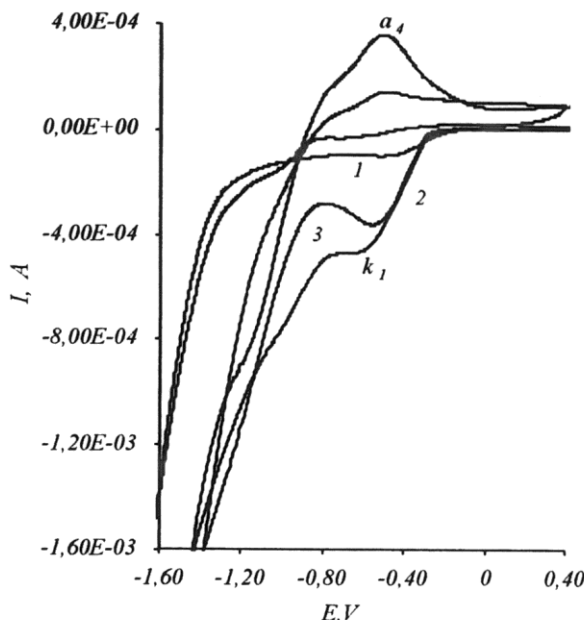


ir seleno oksidacija iki SeO_3^{2-} ionų [18]:



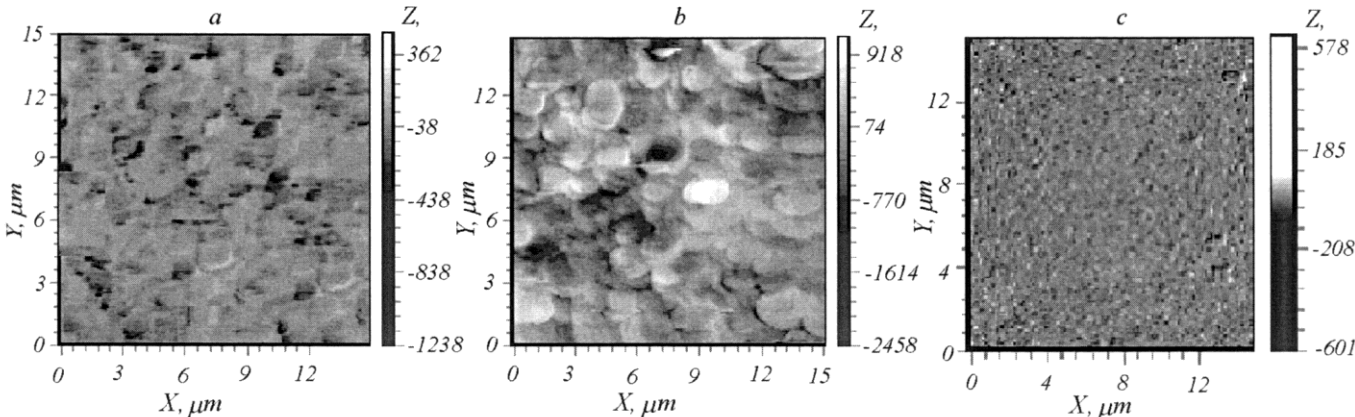
Kai pradžioje potencialas skleidžiamas anodine kryptimi (3 pav., 2 kr.), seleno dangos anodinis tirpimas vyksta, esant $E_{a,p} = 0,20 \text{ V}$ potencialui. Nuo $E = 1,20 \text{ V}$ skleidžiant potencialą atgaline kryptimi, į neigiamų potencialų pusę, katodinė srovė (k_1) didėja ir pasiekia maksimalią vertę ties -0,6 V potencialu. Šis katodinės srovės augimas siejamas su anodinio tirpimo metu susidariusių SeO_3^{2-} ionų redukcija iki seleno (7 reakcija). Nedidelė katodinė banga k_3 susijusi su septintoje reakcijoje susidariusio seleno elektrochemine redukcija iki selenido jonų (8 reakcija).

Na_2MoO_4 REDUKCIJA ANT $\text{Se}|\text{SnO}_2|\text{STIKLAS PA-VIRŠIAUS}$. Lyginant $\text{Se}|\text{SnO}_2|\text{stiklas}$ elektrodo ciklinės voltamperometrines kreives, sudarytas fono elektrolite ir fono elektrolite, turinčiame Na_2MoO_4 (4 pav., 1–3 kr.), matyti ryškus katodinės srovės k_1 augimas. Tai rodo, kad MoO_4^{2-} ionų redukcijos proceso pradžia sutampa su SeO_3^{2-} ionų redukcijos potencialų sritimi.



4 pav. Ciklinės voltamperometrinės kreivės sudarytos fono elektrolite, turinčiame $x \text{ mol}/\text{dm}^3 \text{Na}_2\text{MoO}_4$: 1 – $x = 0$; 2 – $x = 0,05$; 3 – $x = 0,20$

Naujos cheminės sudėties fazės susidarymą patvirtina ir paviršių LJM nuotraukos (5 pav.).



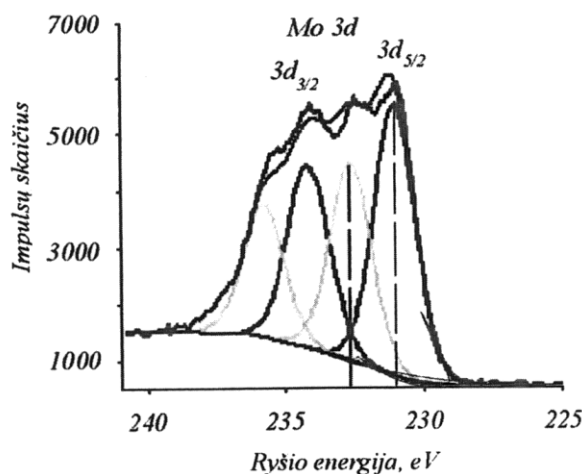
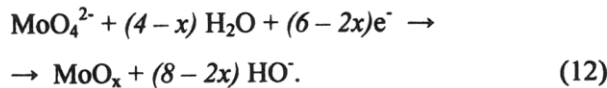
5 pav. Lateralinių jėgų mikroskopijos nuotraukos: a – $\text{SnO}_2|\text{stiklas}$ paviršius, b – $\text{Se}|\text{SnO}_2|\text{stiklas}$ paviršius, c – po katodinio skleidimo k_1 potencialų srityje fono elektrolite, turinčiame $0,1 \text{ mol}/\text{dm}^3 \text{Na}_2\text{MoO}_4$

Dangos, nusodintos potencialu k_1 srityje, sudėtis nustatyta rentgeno fotoelektroninės spektroskopijos metodu.

Fotoelektroninio Mo 3d spektro kreivė (6 pav.) yra simetriška, ir tai rodo, kad susidaro įvairaus oksidacijos laipsnio molibdeno junginiai. Gautų spektrų ryšio energijos ir oksidacijos laipsnis lygintas su NIST standartine duomenų baze 20, versija 3,4 [19]. Išskaidyto spektro Mo 3d_{5/2} dedamoji ties 231,1 eV yra būdinga Mo(V)–O

ryšiui, o smailė ties 232,7 eV priskiriamą Mo(VI)–O ryšiui. Reikia atkreipti dėmesį, kad spektre nėra ryšio energijos, būdingos Mo–Se jungčiai. Iš RFES analizės duomenų nustatytas O ir Mo atominių koncentracijų santykis yra lygus 2,9.

Gauti eksperimentiniai rezultatai leidžia teigti, kad šioje potencialų srityje ant seleno paviršiaus susidaro polivalentinis molibdeno oksidas:

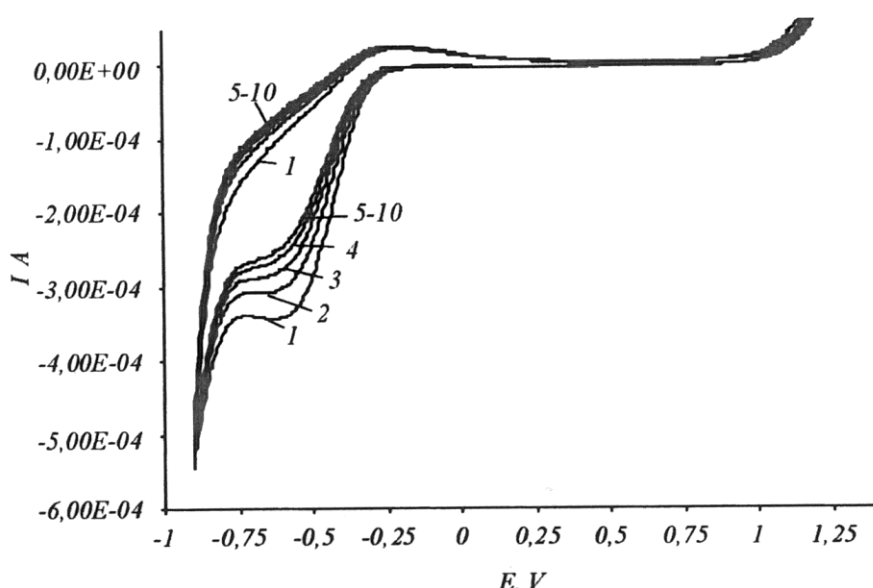


6 pav. Dangos, nusodintos katodinio skleidimo metu k_1 potencialų srityje, fotoelektroninis Mo 3d spektras

Na_2MoO_4 koncentracijos didinimas elektrolite neturi įtakos MoO_x nusodinimo potencialui (4 pav., 2, 3 kr.), tačiau lėtina susidarymo greitį. Galima teigti, kad didesnės koncentracijos Na_2MoO_4 tirpaluose pradiniu skleidimo momentu susidaro storesnė puslaidininkio MoO_x [20] plėvelė, kuri iš dalies pasyvuoja elektrodo paviršių. Šis efektas išryškėja daugkartinio potencialo skleidimo metu. Kaip matyti iš CV kreivių (7 pav.), sudarytų potencialų srityje nuo -0,90 V iki 1,20 V, srovė k_1 mažėja ir artėja prie pastovios vertės.

Plonos MoO_x plėvelės susidarymas ant Se paviršiaus pradiniu elektrolizės momentu nulems gaunamą dangų struktūrą ir savybes. Kaip žinoma [21, 22], dangų savybės priklauso nuo pradinio kristalo užuomazgų susidarymo ant elektrodo paviršiaus. Todėl kitas darbo etapas buvo ištirti kristalinių užuomazgų susidarymo ir augimo dėsningsumus.

Kristalinių užuomazgų susidarymo ir augimo procesui tirti elektrochemijoje plačiausiai taikomas chronoamperometrijos metodas.



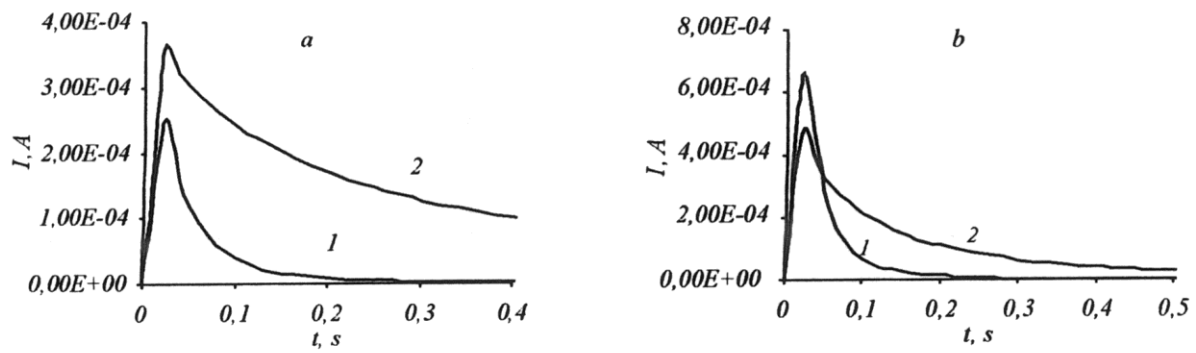
7 pav. Ciklinės voltamperometrinės kreivės, sudarytos fono elektrolite, turinčiame $0,20 \text{ mol}/\text{dm}^3 \text{Na}_2\text{MoO}_4$. Skaičius prie kreivės rodo skleidimo ciklų eiliškumą

MoO_x KRISTALINIŲ UŽUOMAZGŲ SUSIDARYMO IR AUGIMO DĒSNINGUMAI. Chronoamperometrinės kreivės užrašytos šuoliškai pakeitus potencialą nuo pradinės vertės iki potencialo k_1 srityje. Keičiant elektrodo potencialą nuo pradinės reikšmės iki -0,65 V visose chronoamperometrinėse kreivėse pradiniu momentu stebimas staigus katodinės srovės mažėjimas ir maždaug po 1 sekundės nusistovi pastovi jos vertė. Tai rodo, kad iki šio potencialo elektrocheminės reakcijos greitį lemia MoO_4^{2-} jonų difuzija link elektrodo paviršiaus. Tačiau

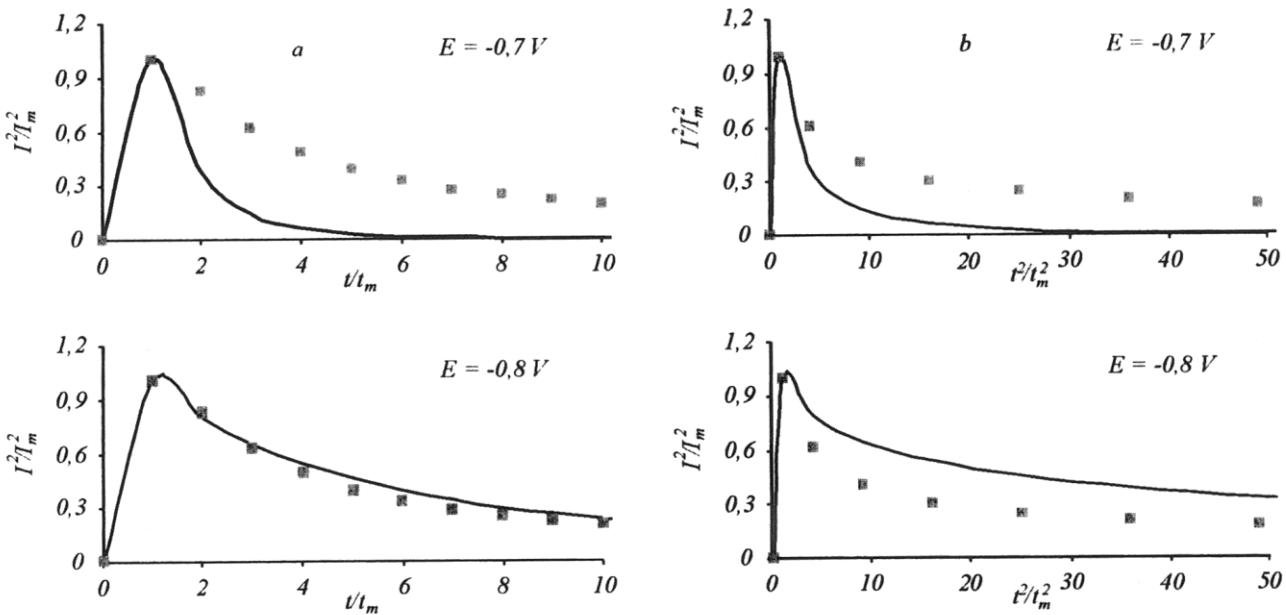
neigiamesniu nei -0,65 V potencialų srityje kreivėse ijunimo momentu stebimas staigus srovės augimas (8 pav.).

Toks kreivių pobūdis rodo, kad ant $\text{Se}|\text{SnO}_2$ stiklas paviršiaus pradeda formuotis MoO_x kristalinės užuomazgos.

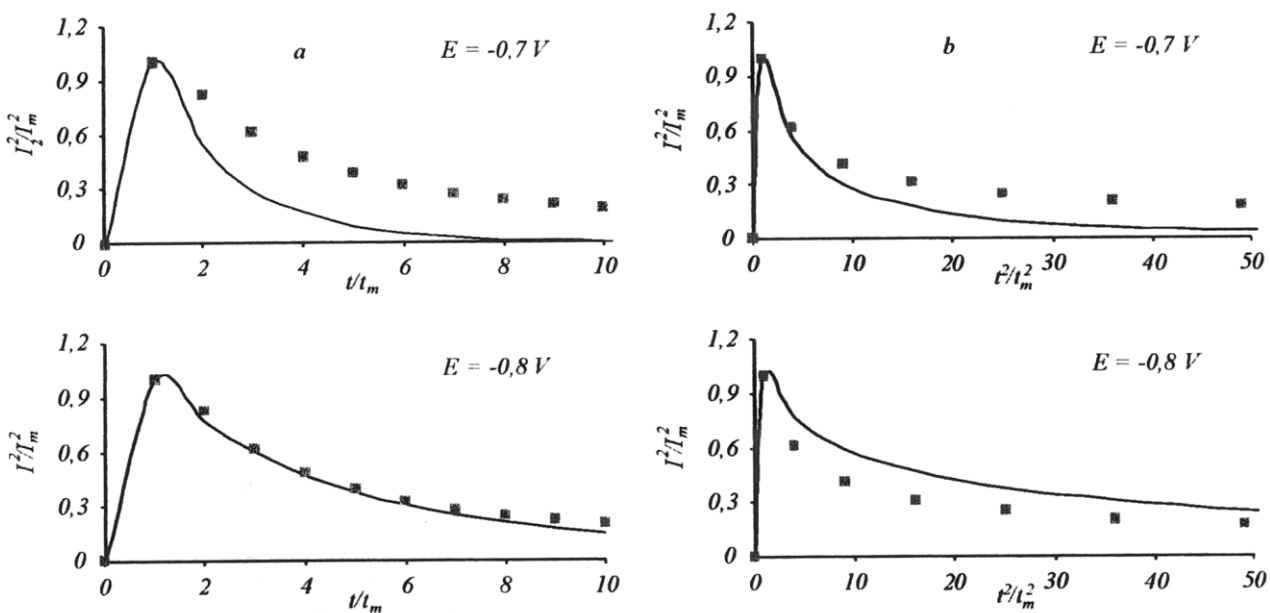
Išanalizavus chronoamperometrinės kreives koordinatėse $\frac{I^2}{I_m^2} = f\left(\frac{t}{t_m}\right)$ ir $\frac{I^2}{I_m^2} = f\left(\frac{t}{t_m}\right)^2$ (9–11 pav.) nustatytais užuomazgų susidarymo mechanizmas.



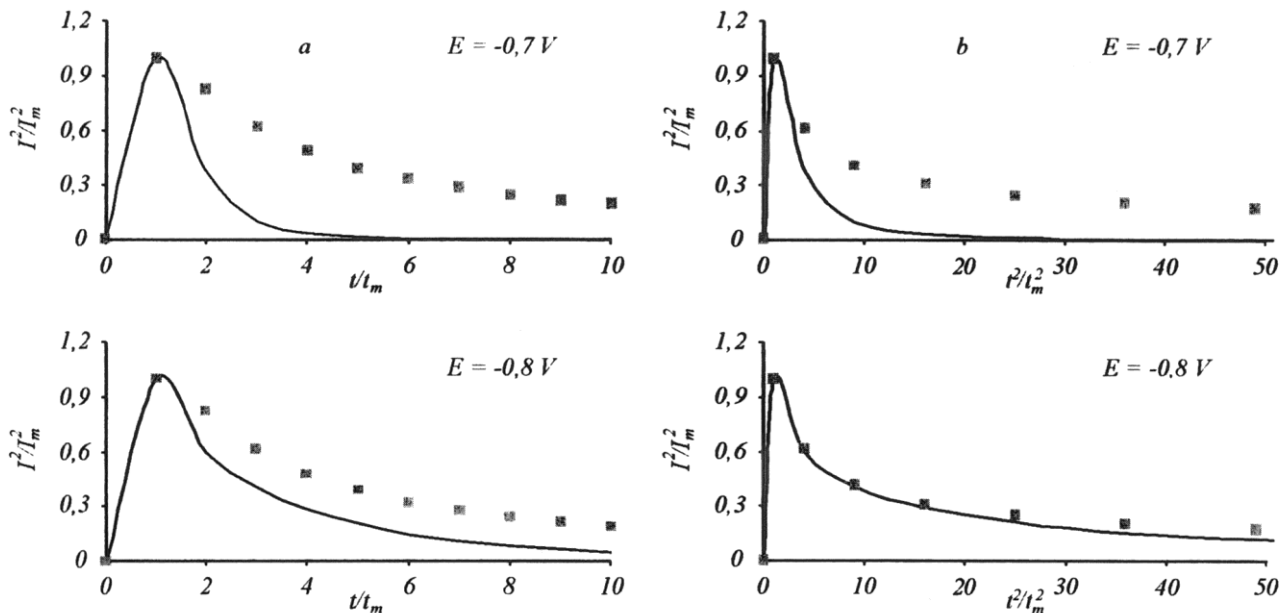
8 pav. Chronoamperometrinės kreivės, sudarytos fono elektrolite, turinčiam $x \text{ mol/dm}^3 \text{Na}_2\text{MoO}_4$: a – $x = 0,05$, b – $x = 0,2$. Elektrolizės potencijalas E (V): 1 – $-0,70$; 2 – $-0,80$



9 pav. Chronoamperometriniai kreivių analizė: a – I^2 / I_m^2 priklausomybės nuo t / t_m , b – I^2 / I_m^2 priklausomybės nuo $(t / t_m)^2$, fono elektrolite, turinčiam $0,05 \text{ mol/dm}^3 \text{Na}_2\text{MoO}_4$



10 pav. Chronoamperometriniai kreivių analizė: a – I^2 / I_m^2 priklausomybės nuo t / t_m , b – I^2 / I_m^2 priklausomybės nuo $(t / t_m)^2$, fono elektrolite, turinčiam $0,15 \text{ mol/dm}^3 \text{Na}_2\text{MoO}_4$



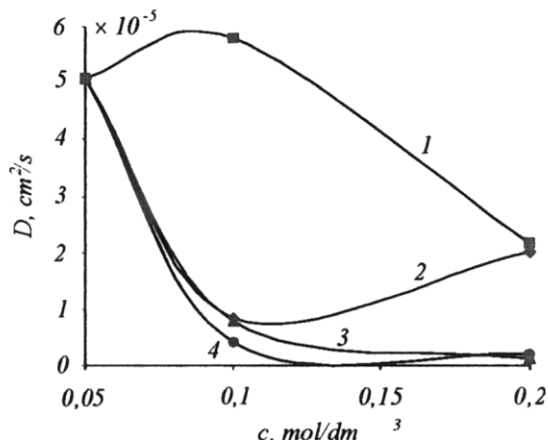
11 pav. Chronoamperometrių kreivių analizė: a – I^2/I_m^2 priklausomybės nuo t/t_m , b – I^2/I_m^2 priklausomybės nuo $(t/t_m)^2$, fono elektrolyte, turinčiam 0,20 mol/dm³ Na₂MoO₄

Palyginus gautas eksperimentinės priklausomybės (tiesios linijos) su teoriškai, pagal (1) ir (4) lygtis, apskaičiuotomis priklausomybėmis (taškai) galima teigti, kad kristalinių užuomazgų susidarymo mechanizmas priklauso nuo Na₂MoO₄ koncentracijos tirpale.

0,05–0,15 mol/dm³ koncentracijos Na₂MoO₄ tirpaluose potencialų srityje nuo -0,65 V iki -0,75 V stebimas progresyvus, o -0,8 V potencijo sąlygomis momentinis kristalinių užuomazgų susidarymo mechanizmas (9, 10 pav.). 0,20 mol/dm³ koncentracijos Na₂MoO₄ tirpaluose stebimas progresyvus kristalinių užuomazgų susidarymo mechanizmas (11 pav.).

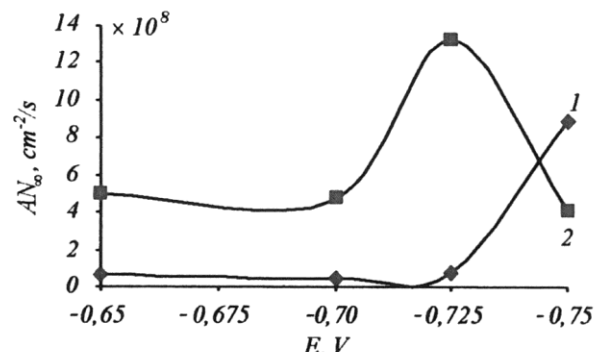
Progresyvų kristalinių užuomazgų susidarymo mechanizmą apibūdinantys dydžiai difuzijos koeficientas (D) ir kristalinių užuomazgų susidarymo greitis (AN_∞) atitinkamai apskaičiuoti pagal (5) ir (6) formules. Kristalinių užuomazgų susidarymo greičio skaičiavimuose priimta MoO_{2,9} molekulinė masė ir MoO₃ tankis.

Na₂MoO₄ koncentracijos ir potencijalo įtaka difuzijos koeficientui 12 paveiksle.



12 pav. Difuzijos koeficiente priklausomumai nuo Na₂MoO₄ koncentracijos fono elektrolyte. Elektrolizės potencialas E (V): 1 – -0,65; 2 – -0,70; 3 – -0,725; 4 – -0,75

Užuomazgų susidarymo greitis priklauso nuo Na₂MoO₄ koncentracijos ir potencijalo. 0,05 mol/dm³ koncentracijos Na₂MoO₄ elektrolyte, potencialų srityje nuo -0,65 V iki -0,75 V, užuomazgos susidaro pastoviu $4,99 \cdot 10^6$ cm⁻²/s greičiu. Didėjant Na₂MoO₄ koncentracijai elektrolyte, užuomazgų susidarymo greičio priklausomumas nuo potencijalo tampa sudėtingesnis (13 pav.).



13 pav. Kristalinių užuomazgų susidarymo greičio priklausomumas nuo elektrodo potencijalo, fono elektrolyte, turinčiam x mol/dm³ Na₂MoO₄ elektrolyte: 1 – x = 0,1; 2 – x = 0,2

Kaip minėta, esant -0,80 V potencialui 0,05–0,15 mol/dm³ koncentracijos Na₂MoO₄ elektrolytuose stebimas momentinis kristalinių užuomazgų susidarymo mechanizmas. Difuzijos koeficientas ir užuomazgų skaičius šiam mechanizmui apskaičiuoti pagal (2) ir (3) formules pateiki 2 lentelėje.

Apibendrinant eksperimentinius rezultatus, galima teigti, kad pradiniu Na₂MoO₄ redukcijos ant Se|SnO₂|stiklas paviršiaus momentu susidaro polivalentinio molibdeno oksido kristalinės užuomazgos. Kristalinių užuomazgų susidarymo mechanizmai priklauso nuo Na₂MoO₄ koncentracijos elektrolyte ir potencijalo.

2 lentelė. Parametrai apibūdinantys kristalinių užuomazgų momentinį susidarymo mechanizmą. E = -0,80 V

$C_{Na_2MoO_4}$, mol/dm ³	t_m , s	I_m , mA	D , cm ² /s 10 ⁻⁵	N_o , cm ⁻² 10 ⁻⁵
0,05	0,02	0,358	0,17	6,10
0,10	0,04	0,283	5,28	6,90
0,15	0,02	0,320	1,50	39,6

Išvados

1. Nustatyta, kad šarminiaiame citratiniame Na₂MoO₄ elektrolite pradiniu elektrolizés momentu ant Se|SnO₂|stiklas paveršiaus susidaro polivalentinio molibdeno oksido danga.
2. MoO_x dangos elektrocheminiams nusodinimui lemiamą įtaką turi kristalinių užuomazgų susidarymo ir augimo greitis.
3. Nustatyta, kad kristalinių užuomazgų susidarymo mechanizmas ir augimo greitis priklauso nuo Na₂MoO₄ koncentracijos elektrolite:
 - 0,05–0,15 mol/dm³ koncentracijos tirpaluose, potencialų srityje nuo -0,65 V iki -0,70 V stebimas progresyvus, o -0,80 V potencialo salygomis momentinis kristalinių užuomazgų susidarymo mechanizmas;
 - 0,2 mol/dm³ koncentracijos Na₂MoO₄ tirpaluose, visoje tirtoje potencialų srityje, stebimas progresyvus kristalinių užuomazgų susidarymo mechanizmas.

Literatūra

1. Pat. 62,140,90, United States. 2001.
2. Bolívar H., Izquierdo S., Tremont R., Cabrera C. R. // J. Appl. Electrochem. 2003. Vol. 33. P. 1191–1198.
3. Tatariskinaitė L., Dukštiene N. // Cheminė technologija. 2006. Nr. 1 (39). P. 17–21.
4. Tatariskinaitė L., Dukštiene N., Andrulevičius M. // Cheminė technologija. 2005. Nr. 2 (36). P. 63–69.
5. Dukštiene N., Tatariskinaitė L. // Polish J. Chem. 2006. Vol. 80. P. 1715–1729.
6. Massaccesi S., Sanchez S., Vedel J. // J. Electrochem. Soc. 1993. Vol. 140. P. 2540–2546.
7. Thouin L., Rouquette-Sanchez S., Vedel J. // Electrochim. Acta. 1993. Vol. 38. P. 2387–2394.
8. Patil R. S., Upalne M. D., Patils P. S. // Appl. Surf. Sc. 2006. Vol. 252. P. 8050–8056.
9. Hyde M. E., Compton R. G. // J. Electroanal. Chem. 2003. Vol. 549. P. 1–12.

10. Scharifker B., Hills G. // Electrochim. Acta. 1983. Vol. 28. N 7. P. 879–889.
11. Grujicic D., Pesic B. // Electrochim. Acta. 2005. Vol. 50. P. 4426–4443.
12. Nakamoto K. ИК и КР спектры неорганических и координационных соединений. Москва, 1991.
13. Dukštiene N. Metal Electrodeposition (Ed. Nunez M. Electrodeposition and Characterization of Mo-Se Thin Film Layers). Nova, New-York, 2005.
14. Mattsson G., Nyholm L., Peter L. M. // J. Electroanal. Chem. 1993. Vol. 347. P. 303–326.
15. Jarzabek G., Kublik Z. // J. Electroanal. Chem. 1982. Vol. 13. N 2. P. 247–259.
16. Zelic M., Sipos L., Branica M. // Croat. Chim. Acta 1985. Vol. 58. N 1. P. 43–55.
17. Campanella L., Ferri T. // J. Electroanal. Chem. 1984. Vol. 165. P. 241–249.
18. Pezzatini G., Loglio F., Innocenti M., Foresti M. L. // Collect. Czech. Chem. Commun. 2003. Vol. 68. P. 1579–1595.
19. National Institute of Standard and Technology, NIST on line Databases. X-ray Photoelectron Spectroscopy Database. <http://www.sr.data.nist.gov/xps> (Žiūrėta 2007 m. kovo mėn.).
20. Dieterle M., Mestl G. // Phys. Chem. Chem. Phys. 2002. N 4. P. 822–826.
21. Gomez H., Henriquez R., Schrbler R., Cordova R., Ramirez D., Riveros G., Dalchiele E. A. // Electrochim. Acta. 2005. Vol. 50. P. 1299–1305.
22. Bulhoes L. O. S., Mascaro L. H. // J. Solid State Electrochem. 2004. Vol. 8. P. 238–243.

D. Sinkevičiutė, N. Dukštiene, J. Baltrušaitis,
A. Guobienė

REGULARITIES OF Na₂MoO₄ ONTO Se|SnO₂|GLASS SURFACE

Summary

Na₂MoO₄ electrochemical reduction from 0.22 mol/dm³ sodium citrate supporting solution was investigated by the cyclic voltammetry, X-ray photoelectron spectroscopy and lateral force microscopy techniques. Experimental results have indicated that molybdenum oxide is initially deposited on the Se|SnO₂|glass surface in a potential range from -0.20 V to -0.80 V. XPS analysis exhibited the molybdenum oxide stoichiometry of 2.9.

The nucleation mechanism of MoO_x onto Se|SnO₂|glass surface was investigated by the current transient technique. The deposition transients analyzed in the non-dimensional plots

$$\frac{I^2}{I_m^2} = f\left(\frac{t}{t_m}\right) \text{ and } \frac{I^2}{I_m^2} = f\left(\frac{t}{t_m}\right)^2$$

have shown that MoO_x nucleates according to a progressive mechanism. The nucleation rate depends on Na₂MoO₄ concentration in the supporting electrolyte and on the deposition potential.